

Napredne metode digitalne obrade signala

Prof. dr. sc. Damir Seršić
<http://nmdos.zesoi.fer.hr>

Teme predavanja

- Motivacija za nejednoliku razlučivost
- CWT – Kontinuirana wavelet transformacija
 - definicija,
 - svojstva,
 - primjeri.
- DWT - Diskretna wavelet transformacija
 - definicija,
 - svojstva,
 - DWT filterski slog.

2

Motivacija za nejednoliku razlučivost

- Razlučivost razlaganja je kod STFT-a određena svojstvima vremenskog otvora.
- Odabrani kompromis uslijed principa neodređenosti vrijedi za cijelu T-F ravninu.
- Često jedna vremenska točka analiziranog signala ima složen frekvencijski sadržaj.
- Za takve signale bi odgovarala analiza koja nema konstantnu rezoluciju.
- U tom slučaju bi ukupno određenje složenog signala moglo biti preciznije od određenja u jednoj točki T-F ravnine.

3

Kontinuirana wavelet transformacija

- Umjesto $g(t-\tau) e^{j\omega t} \rightarrow \frac{1}{\sqrt{|a|}} \psi\left(\frac{t-\tau}{a}\right)$
 - $\psi(t)$ – lokalni analizirajuća funkcija željenih svojstava u obje domene, τ – pomak, a – skala.
 - Rezultat: **CWT**.
- $$X(\tau, a) = \frac{1}{\sqrt{|a|}} \int_{-\infty}^{+\infty} x(t) \psi^*\left(\frac{t-\tau}{a}\right) dt$$
- Za realne $y(t)$ ne treba konjugacija * (mi ćemo to u nastavku često podrazumijevati).

4

CWT

$$X(\tau, a) = \frac{1}{\sqrt{|a|}} \int_{-\infty}^{+\infty} x(t) \psi^*\left(\frac{t-\tau}{a}\right) dt$$

- Rezultat $X(\tau, a)$:
 - ima dimenziju više od dimenzije signala,
 - ovisi o odabranom "valiču" $\psi(t)$,
 - funkcija razlaganja nije ograničena samo na kompleksnu harmonijsku funkciju $e^{j\omega t}$,
 - "valič" $\psi(t)$ osigurava željena svojstva razlaganja,
 - analizirajuću funkciju pomičemo za τ , stežemo ili rastežemo za skalu a i uspoređujemo s $x(t)$,
 - "skala" a je veličina obrnuto proporcionalna frekvenciji.

5

CWT, razlučivost

$$\frac{1}{\sqrt{|a|}} \psi\left(\frac{t-\tau}{a}\right)$$

- Otvor ψ određuje **lokalizaciju** u vremenu i skali.
- Pitanja:
 - gdje su centri koncentracije energije
 - i kolika je efektivna širina
- funkcija razlaganja u obje domene?

6

CWT, središta koncentracije

- Središte koncentracije energije u vremenskoj domeni:

$$\begin{aligned} t_c &= \frac{\int_{-\infty}^{+\infty} \left| \frac{1}{\sqrt{|a|}} \psi\left(\frac{t-\tau}{a}\right) \right|^2 dt}{\int_{-\infty}^{+\infty} \left| \frac{1}{\sqrt{|a|}} \psi\left(\frac{t-\tau}{a}\right) \right|^2 dt} = \left| \begin{array}{l} \text{supst.} \\ t' = \frac{t-\tau}{a} \\ dt' = \frac{dt}{a} \end{array} \right| = \frac{\int_{-\infty}^{+\infty} (at' + \tau) \left| \frac{1}{\sqrt{|a|}} \psi(t') \right|^2 a dt'}{\int_{-\infty}^{+\infty} \left| \frac{1}{\sqrt{|a|}} \psi(t') \right|^2 a dt'} \\ &= a \frac{\int_{-\infty}^{+\infty} t \left| \psi(t) \right|^2 dt}{\int_{-\infty}^{+\infty} \left| \psi(t) \right|^2 dt} + \tau \frac{\int_{-\infty}^{+\infty} \left| \psi(t) \right|^2 dt}{\int_{-\infty}^{+\infty} \left| \psi(t) \right|^2 dt} = at_\psi + \tau. \end{aligned}$$

7

CWT, središta koncentracije

- Konačno, središte koncentracije energije u vremenskoj domeni je: $t_c = at_\psi + \tau$.
- Čest (ali ne i jedini) izbor je ψ simetrična oko nule ($t_\psi = 0$), a tada je $t_c = \tau$.
- Središte koncentracije je u potpunosti određeno vremenskim pomakom τ , a veza je **linearna**.

8

CWT, središta koncentracije

- U frekvencijskoj domeni imamo:

$$\left\{ \frac{1}{\sqrt{a}} \psi\left(\frac{t-\tau}{a}\right) \right\} \longrightarrow \left\{ \sqrt{a} \cdot \Psi(a\omega) e^{-j\omega\tau} \right\}$$

- Središte koncentracije u frekvencijskoj domeni je:

$$\omega_c^+ = \frac{\int_0^{+\infty} \omega \left| \sqrt{a} \cdot \Psi(a\omega) e^{-j\omega\tau} \right|^2 d\omega}{\int_0^{+\infty} \left| \sqrt{a} \cdot \Psi(a\omega) e^{-j\omega\tau} \right|^2 d\omega} = \frac{\int_0^{+\infty} \omega |\Psi(a\omega)|^2 d\omega}{\int_0^{+\infty} |\Psi(a\omega)|^2 d\omega} = \frac{\omega_\Psi^+}{a}.$$

$$\omega_c^+ = \omega_\Psi^+ / a.$$

- Veza središta ω_c i skale a **nije linearna!**

9

CWT, efektivne širine

- Vremenska efektivna širina:

$$\Delta_t = \frac{\int_{-\infty}^{+\infty} (t-\tau)^2 \left| \frac{1}{\sqrt{a}} \psi\left(\frac{t-\tau}{a}\right) \right|^2 dt}{\int_{-\infty}^{+\infty} \left| \frac{1}{\sqrt{a}} \psi\left(\frac{t-\tau}{a}\right) \right|^2 dt} = \dots = a^2 \cdot \Delta_\psi$$

$$\Delta_t = a \cdot \Delta_\psi$$

$$\Delta_f = \frac{\Delta_\psi}{a}$$

- Frekvencijska efektivna širina:

$$\Delta_f^2 = \frac{\int_{-\infty}^{+\infty} (\omega - \omega_\Psi)^2 \left| \sqrt{a} \cdot \Psi(a\omega) e^{-j\omega\tau} \right|^2 d\omega}{\int_{-\infty}^{+\infty} \left| \sqrt{a} \cdot \Psi(a\omega) e^{-j\omega\tau} \right|^2 d\omega} = \dots = \frac{\Delta_\Psi^2}{a^2}$$

10

CWT, razlučivost

$$t_c = at_\psi + \tau,$$

$$\omega_c = \frac{\omega_\Psi}{a}.$$

$$\Delta_t = a \cdot \Delta_\psi,$$

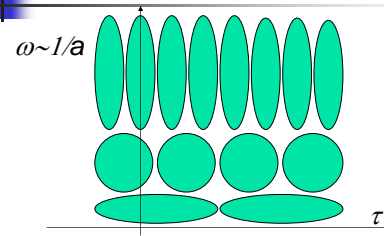
$$\Delta_f = \frac{\Delta_\Psi}{a}.$$

$$\Delta_t \cdot \Delta_f = \text{const.}$$

- Centri koncentracije energije funkcija razlaganja u obje domene su **linearno** ovisni o pomaku τ i **nelinearno** ovisni o skali a .
- Efektivna širina funkcija razlaganja u obje domene je **promjenjiva**, ali je produkt širina **konstantan** i određen svojstvima otvora Ψ .

11

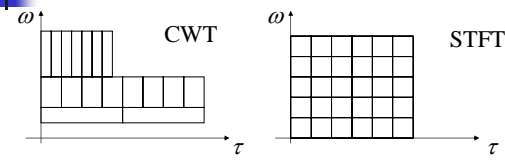
Razlučivost u T-F ravnini



- Središta elipsi predstavljaju centre funkcija razlaganja $(\tau, \omega \sim 1/a)$, a dimenzije efektivne širine.
- Svojstva, odnosno geometrija funkcija razlaganja u T-F ravnini je **promjenjiva!!**

12

Razlučivost: CWT i STFT

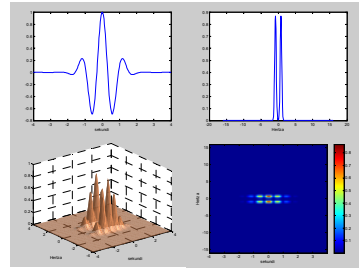


- STFT: konstantna rezolucija na cijeloj T-F ravnini.
- CWT:
 - finija rezolucija u frekvenčijskoj domeni za NF,
 - finija rezolucija u vremenskoj domeni za VF.

13

Primjeri wavelet funkcija

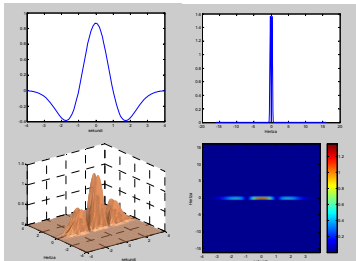
- Morlett: $\psi(t) = e^{-\frac{t^2}{2}} \cos 5t$.



14

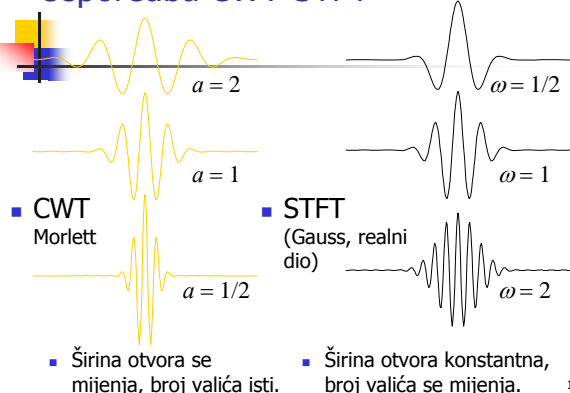
Primjeri wavelet funkcija

- Sombbrero: $\psi(t) = C(1-t^2)e^{-\frac{t^2}{2}}$.



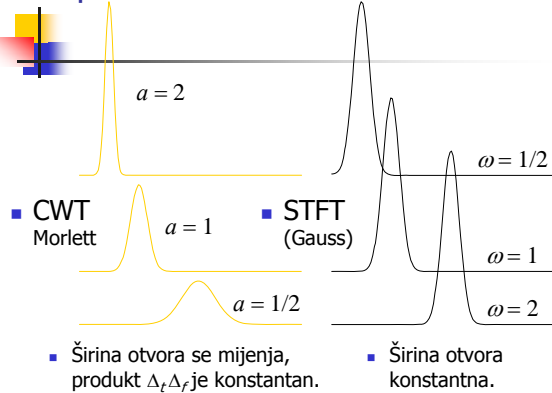
15

Usporedba CWT-STFT



16

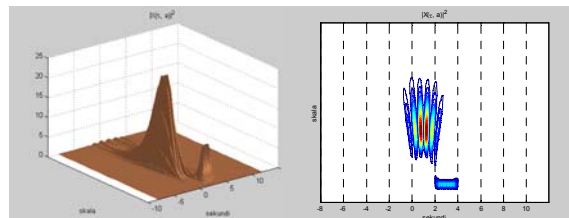
Usporedba CWT-STFT



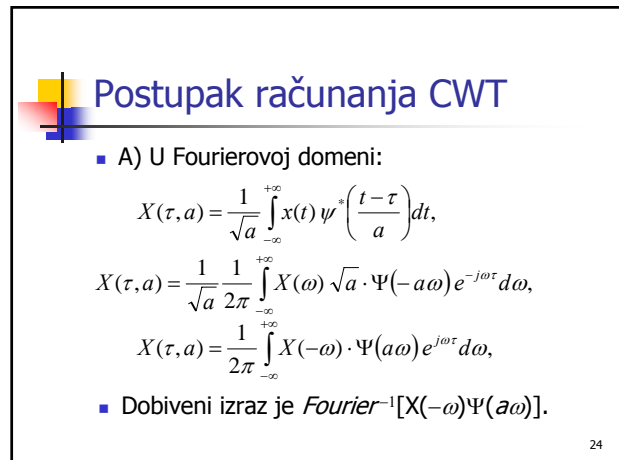
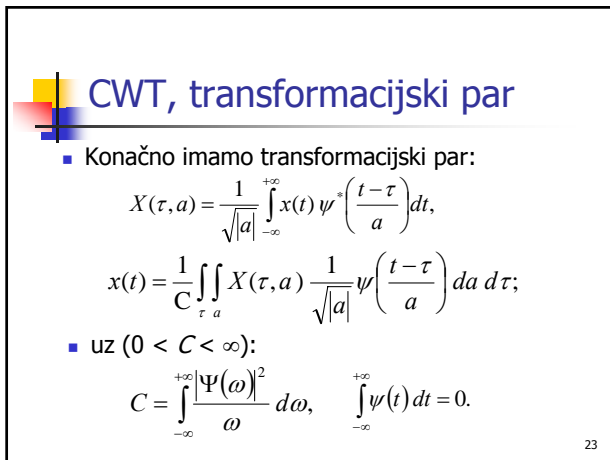
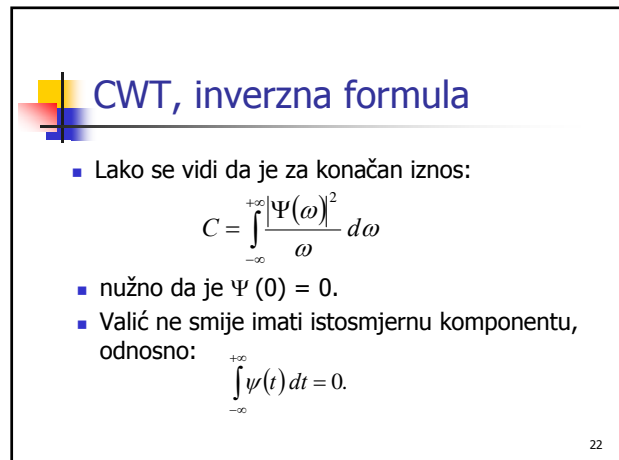
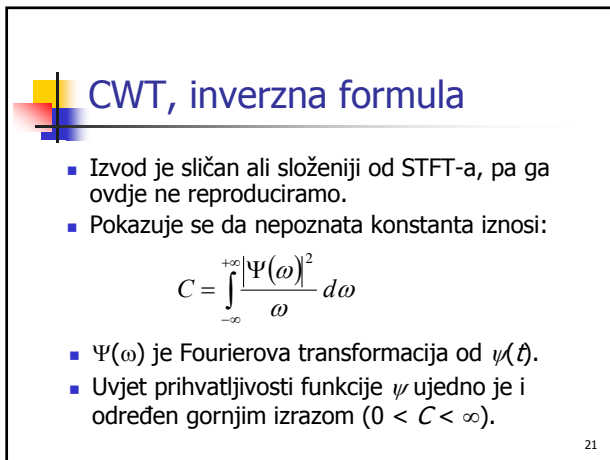
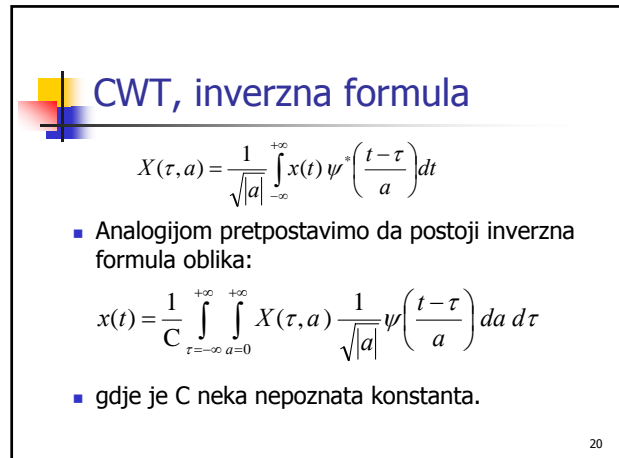
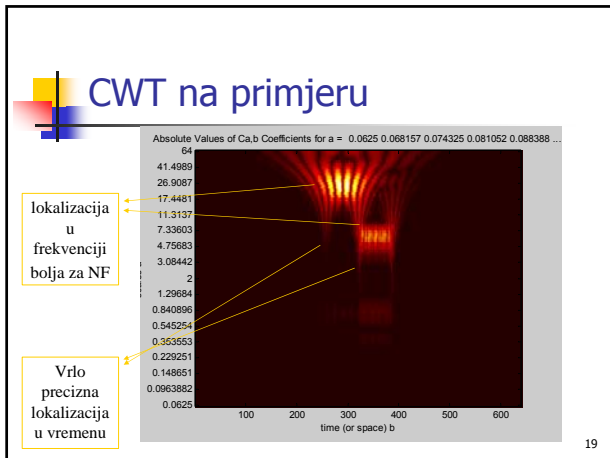
17

CWT na primjeru

- Analizirani signal: dva sinusa, Morletov wavelet.



18



Postupak računanja CWT

- B) Kao slog filtracija za različite skale a :

$$X(\tau, a) = \frac{1}{\sqrt{a}} \int_{-\infty}^{+\infty} x(t) \psi^* \left[-\frac{1}{a}(\tau - t) \right] dt,$$

- Za $a = 1$ važi:

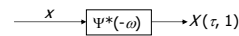
$$X(\tau, 1) = \int_{-\infty}^{+\infty} x(t) \psi^*[-(\tau - t)] dt,$$

- Dobiveni izraz predstavlja konvolucijski integral funkcija $x(t)$ i $\psi^*(-t)$.

25

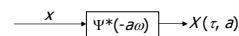
Postupak računanja CWT

- Konvolucija $x(t)$ i $\psi^*(-t)$ odgovara pojasnopropusnom filtriranju:



- Za $a \neq 1$ imamo:

$$X(\tau, a) = \frac{1}{\sqrt{a}} \int_{-\infty}^{+\infty} x(t) \psi^* \left[-\frac{1}{a}(\tau - t) \right] dt,$$

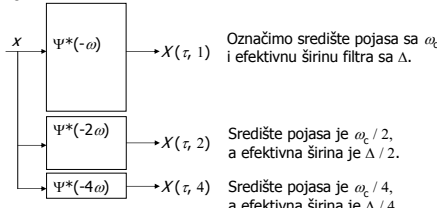


- Pojasnopropusni filter je promijenjene širine i središnje frekvencije.

26

CWT kao slog filtara

- Neka je $a = 1, 2, 4, \dots$
- CWT možemo računati slogom nejednakih filtera:



27

Diskretizacija WT

$$X(\tau, a) = \frac{1}{\sqrt{a}} \int_{-\infty}^{+\infty} x(t) \psi^* \left(\frac{t - \tau}{a} \right) dt,$$

- Diskretizacija usklađena s razlučivošću:

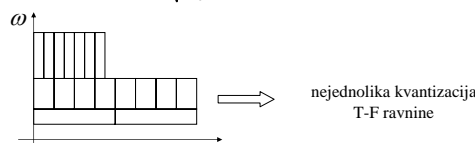
$$\begin{aligned} a &= a_0^k && \text{- logaritamska podjela u skali} \\ \tau &= mTa && \text{(frekvenciji)} \\ & & & \text{- pomak usklađen s iznosom skale} \\ \text{tj. } \tau &= mTa_0^k && \end{aligned}$$

28

Diskretizacija WT

$$\text{Funkcije razlaganja } \psi_{m,k}(t) = \frac{1}{\sqrt{a_0^k}} \psi \left(\frac{t}{a_0^k} - mT \right)$$

$$\text{DWT } X[m, k] = \frac{1}{\sqrt{a_0^k}} \int_{-\infty}^{+\infty} x(t) \psi \left(\frac{t}{a_0^k} - mT \right) dt$$



29

Uvjet rekonstrukcije

$$x(t) = \sum_{m=-\infty}^{+\infty} \sum_{k=-\infty}^{+\infty} X[m, k] \cdot \psi_{m,k}(t)$$

- Rekonstrukcija je moguća i to na numerički stabilan način ako postoje dvije konstante A i B za koje vrijedi:

$$A \frac{\|x\|^2}{\text{energija signala}} \leq \sum_{m,k} \|X[m, k]\|^2 \leq B \frac{\|x\|^2}{\text{energija signala}}$$

$0 < A \leq B < \infty$

- Kod DWT-a ne postoji ekvivalent nužnog uvjeta $TQ \leq 2\pi$, koji je vrijedio za Gaborovu ekspanziju.

30

Oktavna DWT

- Kod waveleta se lako mogu pronaći ortogonalne baze s dobrim lokalizirajućim svojstvima u obje domene (što nije bio slučaj s Gaborom).
- Za realizaciju čest izbor je $a_0 = 2$ tj. oktavna podjela frekvencijske skale.
- Prednost: mogućnost brze realizacije filtarskim slogovima.

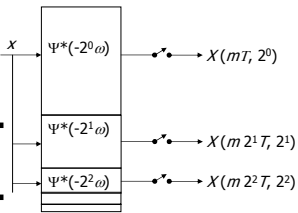
$$\psi_{m,k}(t) = \frac{1}{\sqrt{2^k}} \psi\left(\frac{t}{2^k} - mT\right)$$

31

Oktavna DWT kao slogfiltara

- Ponovno prikažimo CWT filtarski slog. Označimo $a = 2^0, 2^1, 2^2, \dots$ i otiskamo uzorke rezultata.

- Zbrojena širina svih filtera $j > k$ jednaka je širini k -tog filtra.

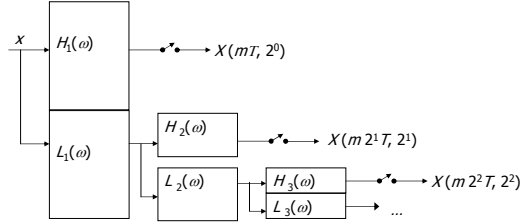


Problem: NP filtri vrlo visokog reda!

32

Oktavna DWT kao slogfiltara

- Ideja za rekurzivnu realizaciju



Kaskadno realizirani filtri mogu biti značajno nižeg reda.

33

Teme predavanja

- Motivacija za nejednoliku razlučivost
- CWT – Kontinuirana wavelet transformacija
 - definicija,
 - svojstva,
 - primjeri.
- DWT - Diskretna wavelet transformacija
 - definicija,
 - svojstva,
 - DWT filtarski slog.

34